

МИНИСТЕРСТВО НАУКИ И ВЫСШЕГО ОБРАЗОВАНИЯ
РОССИЙСКОЙ ФЕДЕРАЦИИ

Федеральное государственное бюджетное образовательное учреждение
высшего образования
«Чувашский государственный университет имени И.Н. Ульянова»

**ДИНАМИКА
НЕЛИНЕЙНЫХ
ДИСКРЕТНЫХ
ЭЛЕКТРОТЕХНИЧЕСКИХ
И ЭЛЕКТРОННЫХ СИСТЕМ**

**Материалы
XIII Всероссийской научно-технической
конференции**

ДНДС-2019

ЧЕБОКСАРЫ

2019

УДК 681.511.42.033(082)

Д44

Редакционная коллегия:

ректор А.Ю. Александров,
д-р техн. наук, профессор Г.А. Белов,
канд. техн. наук, доцент А.В. Серебрянников

*Печатается по решению Ученого совета
Чувашского государственного университета имени И.Н. Ульянова*

Динамика нелинейных дискретных электротехнических
Д44 и электронных систем: материалы 13-й Всерос. науч.-техн.
конф. Чебоксары: Изд-во Чуваш. ун-та, 2019. 478 с.

ISBN 978-5-7677-2925-8

Рассматриваются вопросы математических основ и математического моделирования нелинейных дискретных систем, цифровой обработки сигналов, построения и анализа устройств и систем силовой электроники, систем электроэнергетики и электропривода.

Для научных работников, инженеров, менеджеров и студентов старших курсов.

УДК 681.511.42.033(082)

© Издательство

ISBN 978-5-7677-2925-8

Чувашского университета, 2019

пульсного тока позволяет выполнять его обработку стандартными методами. Кроме того, такое представление эталонного сигнала позволяет контролировать частоту формирования прямоугольных импульсов, что в свою очередь упрощает определение периодичности их возникновения и дальнейшего разграничение опасных и неопасных перемежающихся дуговых замыканий.

Таким образом, нелинейное аналоговое преобразование импульсного тока перемежающегося дугового замыкания в эталонный сигнал до его АЦП упрощает и повышает надёжность функционирования защиты от однофазного замыкания на землю.

Литература

Лихачев Ф.А. Замыкания на землю в сетях с изолированной нейтралью и с компенсацией ёмкостных токов. – М.: Энергия, 1971. – 65 с.

Александрова М.И., Наумов В.А., Антонов В.И., Иванов Н.Г.
(Чебоксары, ООО НПП «ЭКРА», ЧГУ)

УНИВЕРСАЛЬНЫЙ МЕТОД ОПРЕДЕЛЕНИЯ ОПТИМАЛЬНЫХ УСЛОВИЙ УПРАВЛЯЕМОГО ВКЛЮЧЕНИЯ ТРЕХФАЗНОГО ШУНТИРУЮЩЕГО РЕАКТОРА

Неуправляемое включение шунтирующих реакторов сопровождается появлением значительной апериодической составляющей в токе, приводя к насыщению силовых и измерительных трансформаторов в прилегающей сети [1, 2]. Апериодическая составляющая является причиной возникновения значительных ударных токов, оказывающих электродинамическое воздействие на силовое оборудование сети [3]. С целью предотвращения этих негативных последствий используют устройства управляемой коммутации, настраиваемые на включение реакторов в оптимальную фазу.

Включение трехфазного реактора отличается от включения однофазного реактора главным образом из-за взаимной элек-

трической и/или магнитной связи между обмотками фаз. Другими словами, выбор оптимальных фаз включения трехфазных шунтирующих реакторов зависит от схемы соединения обмоток и конструкции магнитопроводов.

В настоящей работе разрабатывается универсальный метод определения оптимальных условий включения всех видов трехфазных шунтирующих реакторов. При этом оптимальность включения рассматривается как обеспечение отсутствия свободной слагаемой в токе реактора.

Виды трехфазных шунтирующих реакторов и их особенности. Наиболее распространены четыре схемы соединения обмоток трехфазного шунтирующего реактора с единым магнитопроводом: звезда с заземленной нейтралью, звезда с изолированной от земли нейтралью, четырехлучевая звезда и треугольник. Очевидно, что схемы на рис. 1, *a* и *б* могут рассматриваться как частные случаи схемы *в*, если принять индуктивное сопротивление нейтрального реактора $X_n = 0$ и $X_n = \infty$ соответственно.

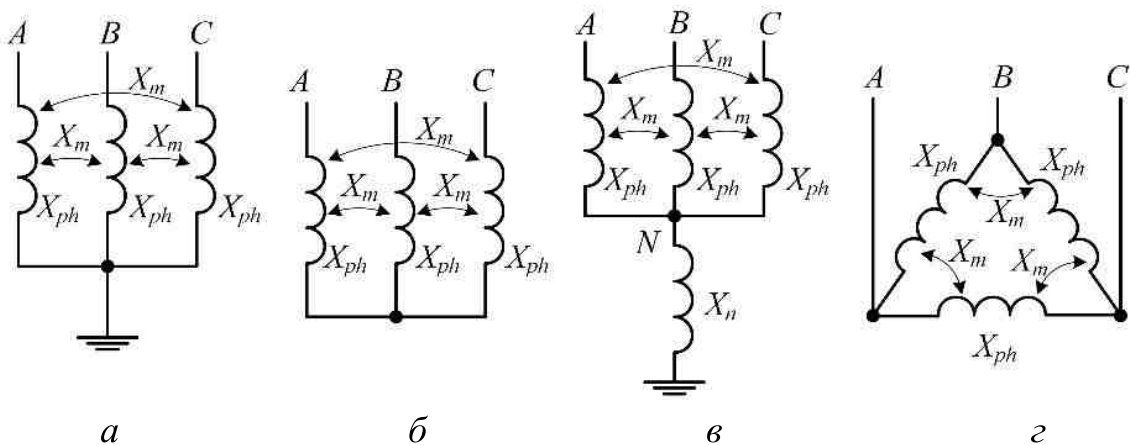


Рис. 1. Схемы соединения обмоток шунтирующего реактора: звезда с заземленной нейтралью (*а*); звезда с изолированной нейтралью (*б*); четырехлучевая звезда (*в*); треугольник (*г*)

Схему соединения в треугольник можно преобразовать по известным формулам в звезду с изолированной нейтралью. При этом сопротивления звезды будут равны

$$X_{ph,Y} = \frac{X_{ph,\Delta} - X_m}{3}.$$

Тогда анализ процессов при коммутации шунтирующего реактора, соединенного в треугольник, также можно рассматривать в эквивалентной схеме реактора в виде четырехлучевой звезды.

Отношение индуктивного сопротивления нейтрального реактора к фазному обозначим как

$$k = X_n / X_{ph},$$

а отношение сопротивления взаимной индукции к фазному сопротивлению как

$$k_m = X_m / X_{ph}.$$

Для реакторов с четырех- и пятистержневым магнитопроводом взаимное влияние фаз отсутствует, поэтому $k_m = 0$. В шунтирующих реакторах с трехстержневым магнитопроводом включение одной фазы приводит к появлению напряжения на двух других из-за магнитной связи фаз. Коэффициент k_m такого реактора находится в диапазоне от $-0,09$ до $-0,11$ [4].

Таким образом, трехфазные реакторы всех видов могут быть приведены к реактору с соединением обмоток в четырехлучевую звезду. Следовательно, оптимальные условия включения всех видов шунтирующих реакторов могут быть определены путем анализа процессов при включении трехфазного реактора по схеме четырехлучевой звезды (рис. 1, в).

Процессы при включении реактора с соединением обмоток в четырехлучевую звезду. Переходный процесс при включении фазы реактора можно представить в виде наложения процессов в схемах исходного (рис. 2) и дополнительного (рис. 3) режимов. Свободные слагаемые переходного процесса возникают в схеме дополнительного режима, поэтому оптимальный момент включения может быть определен из рассмотрения только этой схемы.

Схемы всех дополнительных режимов представляют собой схемы подключения индуктивности к источнику ЭДС с напряжением, равным напряжению на контактах выключателя $\underline{U}_{Q,\sigma}$, $\sigma = \overline{A, B, C}$. Поэтому оптимальный момент включения соответствует фазе напряжения источника в схеме дополнительного режима [5]

$$\arg(\underline{U}_{Q,\sigma}) = 90^\circ. \quad (1)$$

Обычно в качестве опорного сигнала в устройствах управляемой коммутации используется сигнал напряжения одной фазы. Примем для определенности, что синхронизация включения осуществляется по напряжению фазы \underline{U}_A и производится в последовательности А–В–С. Тогда напряжение на контактах каждой фазы можно выразить через напряжение \underline{U}_A :

$$\underline{U}_{Q,\sigma} = \underline{U}_A \zeta_\sigma, \quad (2)$$

где коэффициент пропорциональности ζ_σ вычисляется для соответствующей схемы включения реактора. С учетом условия оптимальности (1) искомая оптимальная фаза включения будет равна

$$\Psi_{opt,\sigma} = \arg(\underline{U}_A) = 90^\circ - \arg(\zeta_\sigma). \quad (3)$$

Перед включением первой фазы (рис. 2, а) напряжение на контактах выключателя равно напряжению источника опорной фазы

$$\underline{U}_{Q,A} = \underline{U}_A - \underline{U}_{P,A} = \underline{U}_A.$$

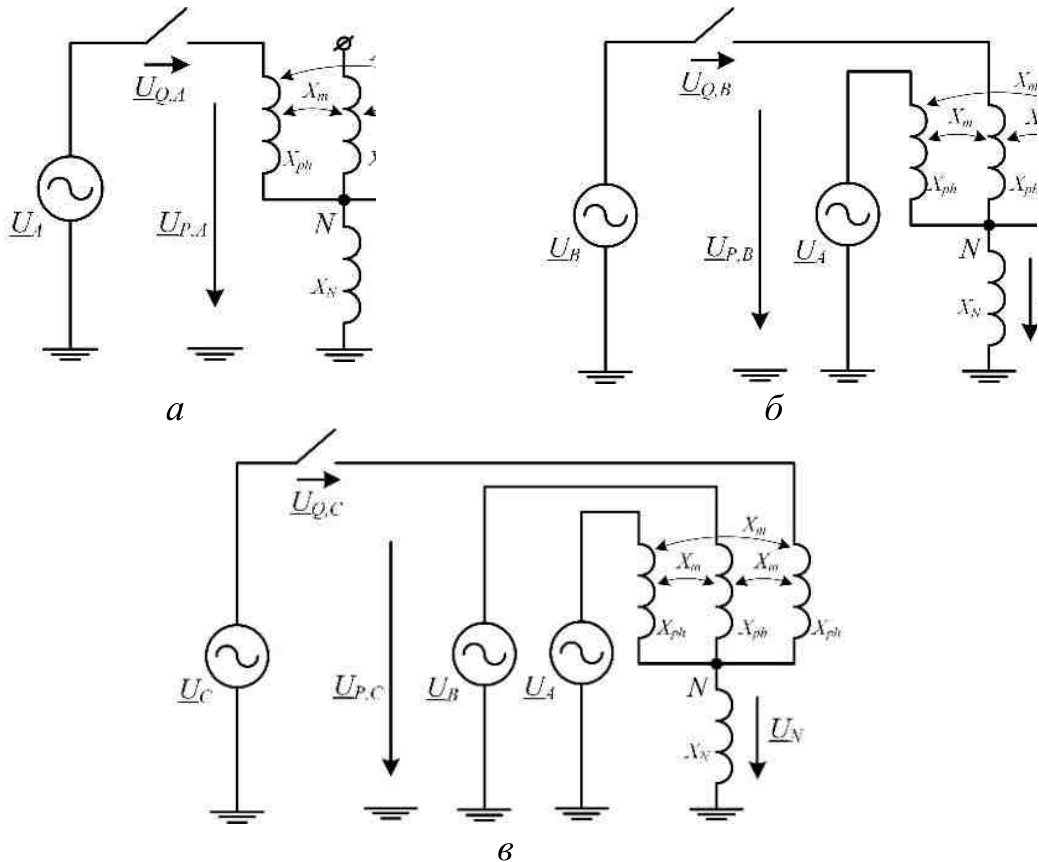


Рис. 2. Схемы исходного режима включения ветвей шунтирующего реактора фазы А (опорной) (а), фазы В (б) и фазы С (в)

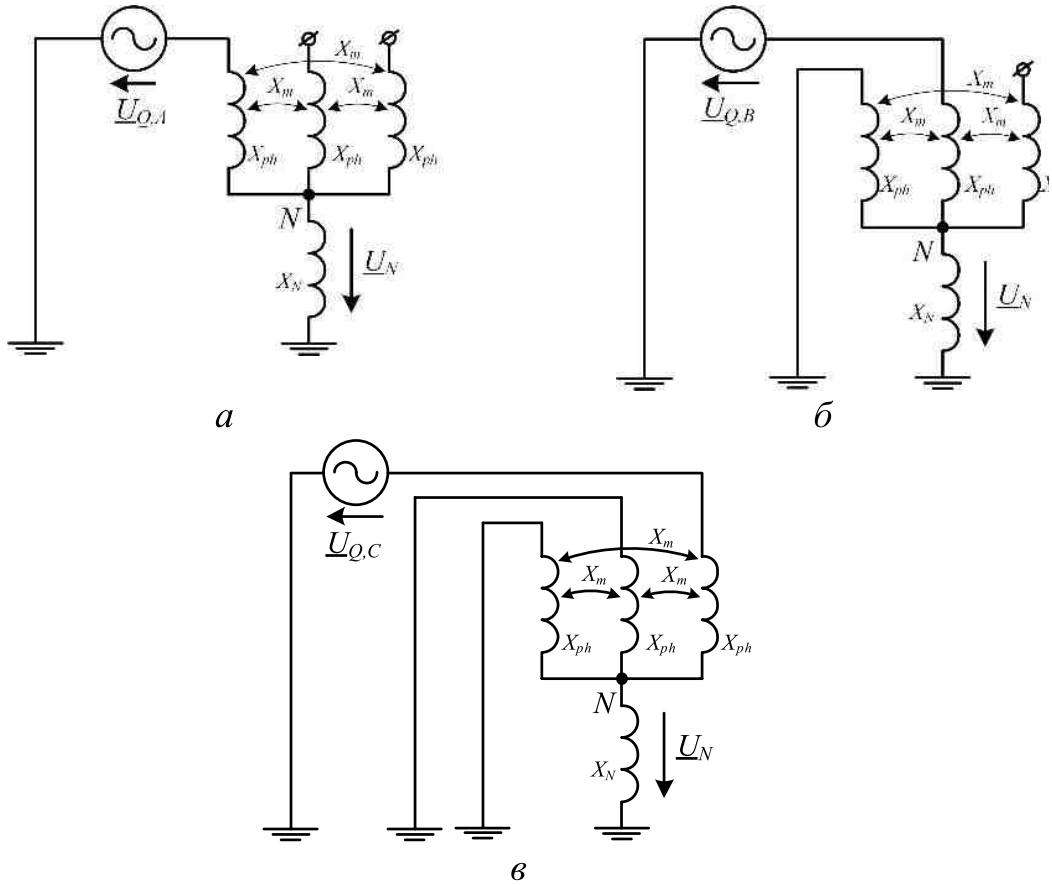


Рис. 3. Схемы дополнительного режима включения ветвей шунтирующего реактора фазы A (опорной) (а), фазы B (б) и фазы C (в)

Следовательно, $\zeta_A = 1$ и оптимальное включение будет обеспечиваться при фазе напряжения источника $U_A \quad \psi_{opt,A} = 90^\circ$.

Как видно из рис. 2, б, включение первой фазы поднимет потенциал нейтрали N до уровня

$$U_{P,B} = U_A \frac{X_n + X_m}{X_n + X_{ph}} = U_A \frac{k + k_m}{k + 1}.$$

Тогда выражение для напряжения на контактах выключателя

$$U_{Q,B} = U_B - U_{P,B}$$

будет связано с опорным напряжением согласно (2) с помощью коэффициента

$$\zeta_B = e^{j\psi_B} - \frac{k + k_m}{k + 1}.$$

В схеме включения третьей фазы (рис. 2, в) коэффициент пропорциональности равен

$$\underline{\zeta}_C = e^{j\psi_C} \left(1 + \frac{X_n + X_m}{X_{ph} + X_m + 2X_n} \right).$$

Оптимальные условия включения трехфазных шунтирующих реакторов. Примем, что источник питания представлен трехфазной симметричной системой с прямым чередованием фаз. Оптимальные фазы включения трехфазных шунтирующих реакторов для различных схем соединения его обмоток приведены в таблице.

Поскольку в схеме соединения обмоток реактора в звезду с изолированной нейтралью включение первой фазы не приводит к протеканию тока, то первая фаза может включаться при любом угле. Тогда следующие две фазы могут включаться на половину периода раньше при угле напряжения на контактах -90° . Оптимальный момент включения второй фазы согласно (3) будет при $\psi_{opt,B} = -90^\circ + 150^\circ = 60^\circ$, а третьей фазы в соответствии с (3) – при угле $\psi_{opt,C} = -90^\circ + 240^\circ = 150^\circ$. Обычно включение первой и второй фазы осуществляют одновременно; оптимальная фаза включения соответствует фазе напряжения A , равной 60° [6].

Оптимальные фазы включения шунтирующего реактора

Соединение обмоток	Число стержней магнитопровода	Фаза A	Фаза B		Фаза C		
Звезда с заземленной нейтралью	4 или 5	90°	210°		330°		
	3	90°	$90^\circ - \arg(e^{-j120^\circ} + k_m)$		330°		
Звезда с изолированной нейтралью	3–5	60° (фазы A и B включаются синхронно)			150°		
Треугольник							
Четырехлучевая звезда	4 или 5	90°	$90^\circ - \arg\left(e^{-j120^\circ} - \frac{k}{k+1}\right)$	330°			
	3	90°	$90^\circ - \arg\left(e^{-j120^\circ} - \frac{k-k_m}{k+1}\right)$	330°			

Заключение

1. Для обеспечения универсальности метода анализа условий включения предлагается представлять схемы замещения трехфазных реакторов в виде четырехлучевой звезды.

2. Удобно вести анализ процессов включения реактора по методу приведения к нулевым начальным условиям. Учитывая, что сам принцип управляемого включения избавляет ток реактора от свободных составляющих, анализ управляемой коммутации можно производить в схемах установившегося режима.

Литература

1. CIGRE WG 13.07, Controlled Switching of HVAC Circuit Breakers // Guide for Application Lines, Reactors, Capacitors, Transformers. 1st Part, ELECTRA. – 1999. – №. 183. – PP. 65–96.
2. CIGRE WG 13.07, Controlled Switching of HVAC Circuit Breakers // Guide for Application Lines, Reactors, Capacitors, Transformers. 2nd Part, ELECTRA. – 1999. – №. 185. – PP. 36–61.
3. CIGRE WG A3.07, Controlled Switching of HVAC Circuit Breakers. Planning, Specification and Testing Of Controlled Switching Systems // CIGRE Technical Brochure. – 2004. – №. 264. – 55 p.
4. IEC 60076-6 International Standard. Power transformers. – Part 6: Reactors, 2007.
5. Александрова М.И. и др. Универсальные принципы управляемой коммутации силового электрооборудования // Релейная защита и автоматизация. – 2016. – № 1 (34). – С. 49–54.
6. Switchsync PWC600. Technical manual. – 2017. – URL: <http://search-ext.abb.com/library>.

СОДЕРЖАНИЕ

ТЕОРИЯ НЕЛИНЕЙНЫХ ДИСКРЕТНЫХ СИСТЕМ. ДИСКРЕТНЫЕ СИСТЕМЫ УПРАВЛЕНИЯ.....	4
<i>Мочалов М.Ю.</i> Матричные методы в исследовании динамики импульсных источников питания.....	4
<i>Семенов Ю.М.</i> Об одной оптимизационной проблеме в теории управляемых объектов	6
<i>Потапов А.А.</i> Фракталы, текстуры и скейлинг в радиофизике и радиоэлектронике: 40 лет научных разработок.....	8
<i>Обычайко Д.С., Шихин В.А.</i> Индикативные диаграммы принятия решения как средство обеспечения эксплуатационной надёжности.....	10
<i>Тобоев В.А.</i> Динамический критерий выявления участков стационарности в случайных процессах	14
<i>Тобоев В.А.</i> Дискретные спектры акустических сигналов ограниченной длительности.....	19
<i>Яушев С.Т., Инсаров А.Т., Файзуллин Р.Р.</i> Оценка степени самоподобия непуассоновского трафика, представленного многомодальным распределением Паскаля.....	23
<i>Макаров А.В., Макаров В.Г., Афанасьев А.Ю.</i> Оптимальное управление гибридной силовой установкой транспортного средства при заданном суммарном моменте.....	25
<i>Макаров А.В., Макаров В.Г., Афанасьев А.Ю.</i> Оптимальное управление гибридной силовой установкой транспортного средства при стационарном движении	27
<i>Дымов И.С., Котин Д.А.</i> Разработка алгоритма адаптивного управления активным электромагнитным подшипником по состоянию	29
<i>Ильин А.А., Родионов Р.В., Скитович С.В.</i> Разработка системы управления вакуумным насосом	31
<i>Малафеев С.И., Малафеева А.А.</i> Взаимодействие оператора и техники в эргатических мехатронных системах	33
<i>Малафеев С.И., Малафеева А.А.</i> Управление в мехатронных системах при низких скоростях.....	35

<i>Буткевич Ю.Р., Афанасьев В.В.</i> Математическое моделирование управляемой дискретно-нелинейной системы Ван-дер-Поля.....	37
<i>Давыдов В.Г., Афанасьев В.В.</i> Математическое моделирование дискретно-нелинейной системы Дмитриева–Кислова	39
<i>Герасимов С.С., Афанасьев В.В.</i> Математическое моделирование нелинейных дискретных устройств режекции сигналов системы Чуа	41
<i>Попов Н.С., Аносов В.Н.</i> Повышения энергоэффективности безрельсового транспорта за счет реализации оптимальных алгоритмов управления	43

**МАТЕМАТИЧЕСКОЕ МОДЕЛИРОВАНИЕ
НЕЛИНЕЙНЫХ ДИСКРЕТНЫХ СИСТЕМ
И ПРОЦЕССОВ. ЦИФРОВАЯ ОБРАБОТКА
СИГНАЛОВ.....45**

<i>Евдокимов Ю.К., Катков В.И.</i> Метод контроля дуговых и искровых разрядов по их радиочастотному спектру	45
<i>Евдокимов Ю.К., Гладнев К.С.</i> Калориметрический метод контроля тепловыделения в энергетических установках, основанный на применении цифровой модели	47
<i>Семенов В.И., Чучкалов С.И., Шурбин А.К.</i> Синтез цифровых фильтров в частотной области.....	49
<i>Изосимова Т.А., Максимова М.В.</i> Функциональная модель системы биометрической идентификации	52
<i>Бычкова И.Ю., Бычков А.В.</i> Возможности комплексного анализа ультразвуковых сигналов в системе контроля и управления вентилятором.....	54
<i>Бычков А.В.</i> Низкочастотные вибрации электрооборудования: ультразвуковой импульсный контроль	58
<i>Иванов А.В., Моряков Р.А., Славутский Л.А.</i> Нейросетевая идентификация квазигармонического сигнала со случайной модуляцией.....	62
<i>Галанина Н.А., Иванова Н.Н.</i> Моделирование методов быстрого спектрального анализа на языке описания аппаратуры VHDL	66

<i>Галанина Н.А., Иванова Н.Н.</i> Реализация алгоритма БПФ конвейерной структуры	68
<i>Курип В.И.</i> Моделирование гидрогенератора с турбиной в Matlab/Simulink	70
<i>Воробьёв С.В.</i> Анализ зоны покрытия сети LTE в совет- ском районе Казани	74
<i>Ахремчик О.Л., Хабаров А.Р.</i> Пространство параметров выбора среды для разработки модели производства электронных приборов	77
<i>Морозов М.В., Слесарева О.В.</i> Моделирование синтеза монослоев MoS ₂ как основы транзистора наноэлектрон- ной системы	79
<i>Зайцев В.В., Чупрушкина М.Н.</i> Модель томсоновского ДВ-автогенератора с разностной схемой прогноза и коррекции	81
<i>Денисов Е.С., Магомедов Х.И.</i> Применение несинусои- дального колебания в квадратурном гетеродиродине для цифровых приемников	83
<i>Зарипов Р.Ф., Фатыхов М.М., Файзуллин Р.Р.</i> Имита- ционное моделирование оптимизационного полигаус- сowego алгоритма разрешения сигналов на фоне дей- ствия хаотических импульсных помех	85
<i>Забродин С.А., Урускаев Р.Р.</i> Имитация аэrodинамиче- ской нагрузки на следящий привод летательного аппа- рата	87
<i>Григорьев А.В.</i> Выделение одномерного скачка яркости	89
<i>Абросов Я.А., Данилов П.Е.</i> Определение грузоподъемно- сти башенного крана при увеличении высоты подъема	91
<i>Ильгачёв А.Н., Михадаров Д.Г.</i> Simulink-модель САР температуры ЭПС с двухпозиционным регулированием	94
<i>Шалимов А.С.</i> Имитация и анализ процессов при дуб- лировании SV-потоков IEC61850-9-2LE	97
<i>Охоткин Г.П.</i> Моделирование логических операций над многоразрядными булевыми величинами	99
<i>Охоткин Г.П.</i> Моделирование устройств отображения цифровой информации	103
<i>Охоткин Г.П.</i> Моделирование комбинационных дво- ичных сумматоров	109

<i>Романов Р.А.</i> Определение рабочих точек постоянных магнитов разных типов для магнитной системы сверхминиатюрного вентильного электродвигателя	113
<i>Дубяго М.Н., Полуянович Н.К.</i> Математическая модель тепловых процессов в кабельной линии электроэнергетических систем.....	118
<i>Петров О.А.</i> Сравнение рассчитанных в Comsol Multiphysics и экспериментальных значений параметров клапанных электромагнитов	123
ЭЛЕМЕНТЫ СИСТЕМ СИЛОВОЙ ЭЛЕКТРОНИКИ. ФОТОЭЛЕКТРИЧЕСКИЕ ПРЕОБРАЗОВАТЕЛИ И УСТРОЙСТВА	127
<i>Белов Г.А., Петров К.И.</i> Схема управления полумостовым резонансным преобразователем постоянного напряжения типа LLC	127
<i>Белов Г.А., Никольский Н.В.</i> Анализ характеристик резонансного преобразователя постоянного напряжения типа LCL-T	141
<i>Быков К.В.</i> Транзисторные зарядно-выпрямительные устройства для систем оперативного постоянного тока подстанций и электростанций	153
<i>Лазарева Н.М., Яров В.М.</i> Динамические режимы работы трансформатора в регуляторе переменного напряжения	157
<i>Быков К.В., Лазарева Н.М., Лях А.В., Яров В.М.</i> Преобразователь постоянного напряжения в переменное с Z-фильтром на входе	161
<i>Быков К.В., Лазарева Н.М., Павлов Ю.В., Яров В.М.</i> Двухтактный понижающе-повышающий конвертор	165
<i>Быков К.В., Лазарева Н.М., Павлов Ю.В., Яров В.М.</i> Инверторные источники прямоугольного напряжения.....	168
<i>Быков К.В., Лазарева Н.М., Павлов Ю.В., Яров В.М.</i> Понижающе-повышающий конвертор	173
<i>Абрамов С.В., Семенов И.В.</i> Конструирование планарного трансформатора обратноходового преобразователя.....	178

<i>Абрамов С.В., Тимофеев А.В.</i> Обратноходовой преобразователь с управлением на первичной стороне на микросхеме UCC28704.....	185
<i>Малинин Г.В.</i> Расчет LCL-фильтра для сетевого инвертора в фотovoltaических приложениях.....	189
<i>Малинин Г.В., Севриков Л.С.</i> Испытания AC/DC преобразователя для питания оптического модема	195
<i>Арзамасов В.Л., Малинин Г.В., Селивестров Н.В.</i> Низкочастотный источник питания печи электротягового переплава	199
<i>Серебрянников А.В.</i> Моделирование недифференциальной схемы однофазного непосредственного ШИМ-преобразователя переменного напряжения понижающего типа	204
<i>Бутарев И.Ю., Школин А.Н.</i> Сравнительный анализ режимов работы поведенческой модели понижающего ШИМ-контроллера в Matlab/Simulink.....	209
<i>Донской Н.В., Сергеев А.Г.</i> Симметрирование линейных напряжений при шунтировании силовых ячеек многоуровневого преобразователя частоты	214
<i>Филиппов В.М., Подгорная С.О.</i> Повышение энергетической эффективности выпрямительно-инверторных преобразователей.....	218
<i>Домахин Е.А., Котин Д.А.</i> Разработка адаптивного алгоритма для обеспечения синхронизации напряжений преобразователя частоты и сети	221
<i>Матвеев Д.А., Бальзамов А.Ю.</i> Перенастраиваемая система управления полупроводниковым преобразователем электроэнергии на ПЛИС.....	223
<i>Димитриев А.А., Никифоров И.К.</i> Модель импульсного преобразователя с частотным регулированием.....	228
<i>Мясникова Т.В., Матюнин А.Н., Кириллова А.А.</i> Моделирование фотоэлектрического преобразования солнечной энергии	230
<i>Морозов Д.С., Афанасьев А.Ю.</i> Фотоэлектрические преобразователи электроэнергии на основе нанотехнологий	232

<i>Малышкин С.Б., Генин В.С.</i> Оценка влияния фазы напряжения на время выявления КЗ на модели судовой ЭЭС.....	235
<i>Нестерин В.А., Генин В.С., Нестерин А.В.</i> Установка для контроля гистерезисных параметров высокоэнергетических магнитотвёрдых материалов на образцах постоянных магнитов в разомкнутой магнитной цепи.....	238
<i>Фёдоров А-р.О., Солдатов А.В., Петров В.С.</i> Оценка эффективности выходного фильтра солнечной электростанции	240
<i>Denisov E.S., Demidov A.M., Afonina E.V.</i> IoT based solar panel monitoring and control system.....	247
<i>Беспалов Н.Н., Евшиев А.В., Кондрашин Д.С.</i> Исследование относительной погрешности измерения обратного тока силового диода в состоянии низкой проводимости	249
<i>Беспалов Н.Н., Горячkin Ю.В., Дёмкин П.М., Панькин К.Ю.</i> Особенности вольт-амперной характеристики силового диода при воздействии ударного тока с учётом диффузионной ёмкости.....	255
<i>Беспалов Н.Н., Мясин В.Г.</i> Метод определения теплового сопротивления биполярных транзисторов с изолированным затвором	259
<i>Беспалов Н.Н., Горячkin Ю.В., Панькин К.Ю., Дёмкин П.М.</i> Исследование стартовых тепловых режимов работы силовых полупроводниковых приборов при различных начальных значениях температуры	262
<i>Беспалов Н.Н., Зорькин А.В.</i> Оценка значений сопротивлений катодных шунтов силовых тиристоров по вольтамперной характеристике цепи управления	266
<i>Жарницкий В.Я., Андреев Е.В., Зайцев Ю.В., Рыбаков Д.А.</i> Датчик температуры на полиэтилене с техническим углеродом	272
<i>Шульгин Д.А., Узенбаева С.А.</i> Яркие светодиоды на основе металлоорганических галогенидных перовскитных нанопластинок	277

**РЕЛЕЙНАЯ ЗАЩИТА И АВТОМАТИКА
ЭНЕРГОСИСТЕМ 279**

<i>Кочетов И.Д., Лямец Ю.Я., Мартинов М.В., Маслов А.Н.</i> Метод оценивания распознающей способности релейной защиты.....	279
<i>Кочетов И.Д., Лямец Ю.Я., Мартинов М.В., Маслов А.Н.</i> Нераспознаваемость коротких замыканий вследствие неотличимости от рабочих коммутаций	283
<i>Иванов С.В., Лямец Ю.Я., Макашкин Ф.А.</i> Спектральный анализ двухкомпонентного электрического сигнала на минимальном окне наблюдения	290
<i>Иванов С.В., Лямец Ю.Я., Макашкин Ф.А.</i> Моделирование и анализ асинхронного процесса.....	295
<i>Белянин А.А., Лямец Ю.Я., Чернов А.Ю.</i> Локация однофазного замыкания на землю в фидере распределительной сети	298
<i>Белянин А.А., Лямец Ю.Я., Чернов А.Ю.</i> Локация повреждения при двухстороннем наблюдении линии на малом интервале времени.....	301
<i>Белянин А.А., Маслов А.Н., Смирнова И.В., Широкин М.Ю.</i> Исследование чувствительности дифференциальной токовой защиты трансформатора к внутренним коротким замыканиям на фоне внешних	304
<i>Белянин А.А., Маслов А.Н., Смирнова И.В., Широкин М.Ю.</i> Метод локализации для распознавания внутреннего короткого замыкания на фоне внешнего.....	308
<i>Подшивалин А.Н., Андреев Б.Л.</i> Распознаваемость ошибки в измерениях на цифровой подстанции	313
<i>Подшивалин А.Н., Терентьев Г.В.</i> Способ одностороннего определения места повреждения линий электропередачи	316
<i>Степанова Д.А., Наумов В.А., Антонов В.И.</i> К теории глубокого обучения релейной защиты	319
<i>Кудряшова М.Н., Наумов В.А., Антонов В.И., Иванов Н.Г.</i> Нелинейное аналоговое преобразование входного сигнала в алгоритмах идентификации перемежающегося дугового замыкания	328

<i>Александрова М.И., Наумов В.А., Антонов В.И., Иванов Н.Г.</i> Универсальный метод определения оптимальных условий управляемого включения трехфазного шунтирующего реактора.....	330
<i>Наумов В.А., Солдатов А.В., Иванов Н.Г., Глазырин А.В.</i> Мониторинг частоты в цифровых системах релейной защиты и автоматики на основе фильтров ортогональных составляющих.....	337
<i>Алексеев В.С., Петров В.С.</i> Влияние погрешностей измерения на выбор характеристики срабатывания АЛАР	342
<i>Никитина А.Н., Петров В.С.</i> Способ ликвидации асинхронного режима при электрическом центре качания в месте установки устройства.....	348
<i>Ванин В.К., Ванин И.В., Попов М.Г.</i> Воспроизведение первичного напряжения.....	351
<i>Попов М.Г., Захарова Е.В., Васильева О.А., Шахова М.А.</i> Анализ характеристического уравнения эквивалентной энергосистемы.....	355
<i>Кощеев М.И., Славутский Л.А.</i> Возможность использования простых нейросетей для определения места повреждения в энергосистеме	357
<i>Моисеев Д.В., Галанина Н.А.</i> СИМ-модель энергообъектов как инструмент интеграции централизованной системы диагностики устройств РЗА.....	361
<i>Тошходжаева М.И.</i> Перспективы применения современных устройств релейной защиты на воздушных линиях Согдийской энергосистемы	363
<i>Мисбахов Рин.Ш.</i> Комбинированные волоконно-оптические системы мониторинга температуры ЛЭП на основе нелинейного рассеяния и адресных брэгговских структур	367
<i>Мисбахов Рин.Ш., Васёв А.Н.</i> Волоконно-оптический датчик акустического обнаружения частичного разряда.....	369
<i>Жарницкий В.Я., Андреев Е.В., Зайцев Ю.В., Рыбаков Д.А.</i> Система оперативного оповещения при прорывах грунтовых плотин энергосооружений	371
<i>Хренников А.Ю., Александров Н.М.</i> Оценка механического состояния обмоток силовых трансформаторов	378

<i>Хренников А.Ю., Александров Н.М.</i> Моделирование обмотки силового трансформатора для целей частотного анализа	382
<i>Мазнева О.В., Хузяшев Р.Г., Кузьмин И.Л.</i> Обработка и классификация сигналов переходного процесса	384
<i>Силанов Д.Н.</i> Цифровая система релейной защиты и управления для распределительных сетей	387
<i>Базаррагча Алтандуулга, Кузьмин А.А., Медведев В.Г., Петров М.И.</i> Система дискретного управления компенсацией ёмкостных токов для цифровых подстанций.....	389
<i>Атаманов М.Н., Дрей Н.М., Зиганишин А.Г., Михеев Г.М.</i> Расчет параметров пассивного фильтра гармоник	393

**ДИНАМИКА НЕЛИНЕЙНЫХ СИСТЕМ
В ВЫСШЕМ ЭЛЕКТРОТЕХНИЧЕСКОМ
И ЭЛЕКТРОЭНЕРГЕТИЧЕСКОМ ОБРАЗОВАНИИ397**

<i>Голенищев-Кутузов А.В., Голенищев-Кутузов В.А., Семёнов А.В., Марданов Г.Д., Аввакумов М.В.</i> Использование виртуального прибора LabVIEW для регистрации импульсов частичных разрядов	397
<i>Мишин С.А., Галанина Н.А.</i> Иерархическая система управления роботом.....	399
<i>Иванов В.Н., Михайлов А.Л.</i> Моностатическое рассеяние от покрытий	401
<i>Захаров В.Г.</i> Развитие теории биений для модуляции радиосигналов.....	403
<i>Булатов В.Н., Худорожков О.В., Тимонов Е.С.</i> Оценка метода замещения в фазовых системах аналогового перемножения конъюнкцией	405
<i>Кугушева Н.Н., Семёнов А.С., Якушев И.А.</i> Математическое моделирование сложных электрических цепей в среде Matlab.....	409
<i>Семёнов А.С., Семёнова М.Н.</i> Математическое моделирование систем электроснабжения в пакете программ Matlab	412
<i>Фадеева Л.Ю., Казанцев Е.А.</i> Модель длинной линии с распределенными параметрами и неоднородной поверхностью проводника	416

<i>Янкевич С.В., Афанасьев В.А., Иритков С.А.</i> Холодная пастеризация жидкостей высокоинтенсивным ультразвуком	418
<i>Самсонов А.И., Абрамов С.В.</i> Организация рабочего места современного инженера-электронщика.....	423
<i>Ахметвалеева Л.В., Еникеева Г.Р., Сафин И.И.</i> Применение ПЛИС в системах отладки микроконтроллерных устройств	427
<i>Димитриев А.П.</i> Генетические алгоритмы оптимизации в модели размещения	429
<i>Чертановский А.Г.</i> Быстрый метод Кирхгофа. Формула тока ветви, обусловленного источниками тока	432
<i>Рыбков М.В., Кнауб Л.В.</i> Автоматизированный расчет задач электротехники явными методами.....	435
<i>Григорьев В.Г., Павлова Н.В.</i> Оптимационная модель массогабаритных параметров LC-фильтров выпрямителей	437
<i>Чумаров С.Г.</i> Моделирование импульсных усилителей тока в среде Altium Designer.....	439
<i>Чумаров С.Г., Милкин Ю.С.</i> Особенности реализации и применения программно определяемых радиосистем	442
<i>Федорова А.В.</i> Нормирование и измерение сигналов в канале ВЧ связи на ВЛ.....	444
<i>Магнитский В.А.</i> Антенные системы технологии MIMO сетей 5G	447
<i>Чумаров С.Г., Ремнев П.Ю.</i> Моделирование спящих режимов пассивных оптических сетей.....	450
<i>Тимофеев И.А., Зайцев Ю.В., Рыбаков Д.А., Мирошниченко А.Ю.</i> Осветительная установка с бегущей световой волной.....	453
<i>Зайцев Ю.В., Рыбаков Д.А., Ткаченко Ю.Н.</i> Многофункциональное световое панно	458
<i>Максимова М.В.</i> Разработка лабораторного практикума «Автоматизированная система полива» на аппаратной платформе Arduino Nano	461
<i>Денисов Е.С., Никишина Г.В., Нурутдинова Л.Ф.</i> Система удаленного мониторинга технического состояния электрохимических аккумуляторов.....	463
<i>Охоткин Г.П., Угарин С.В., Яковлев А.Н.</i> Разработка макета транспортного робота	465

Научное издание

**ДИНАМИКА НЕЛИНЕЙНЫХ ДИСКРЕТНЫХ
ЭЛЕКТРОТЕХНИЧЕСКИХ И ЭЛЕКТРОННЫХ СИСТЕМ**

Материалы XIII Всероссийской научно-технической конференции

Публикуются в авторской редакции
Отв. за выпуск А.В. Серебрянников

Согласно Закону № 436-ФЗ от 29 октября 2010 года
данная продукция не подлежит маркировке

Подписано в печать 04.06.19. Формат 60×84/16.
Бумага писчая. Печать офсетная. Гарнитура Times.
Усл. печ. л. 27,7. Уч.-изд. л. 26,5. Тираж 300 экз. Заказ 696.

Издательство Чувашского университета
Типография университета
428015 Чебоксары, Московский просп., 15